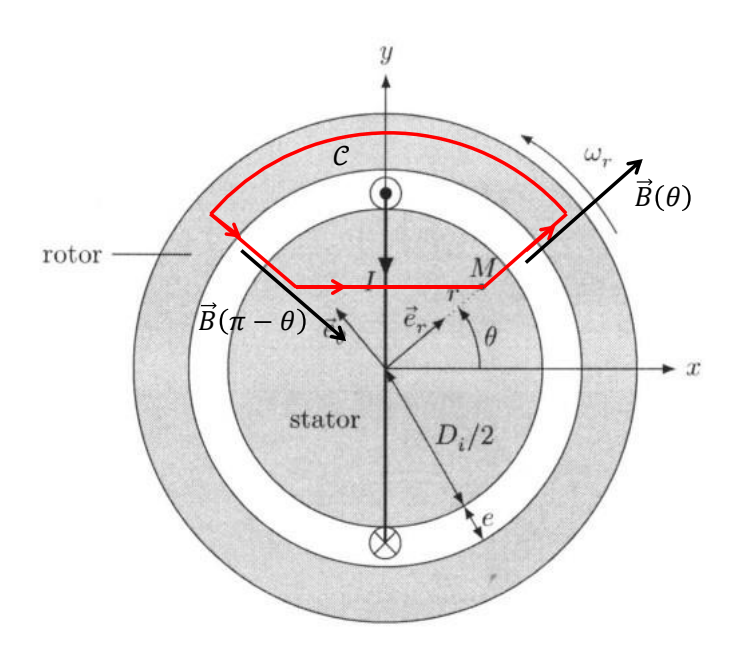
— CPGE PSI — DL 5-bis

— corrigé de la partie moteurs —

III. Générateur

Q17 On applique le théorème d'Ampère au contour \mathcal{C} représenté ci-dessous :



$$\oint_{c} \vec{H} \cdot \vec{\mathrm{d}\ell} = \frac{B_0}{\mu_0} e \times 2 + 0 + 0 = I$$

soit:

$$B_0 = \frac{\mu_0 I}{2e}$$

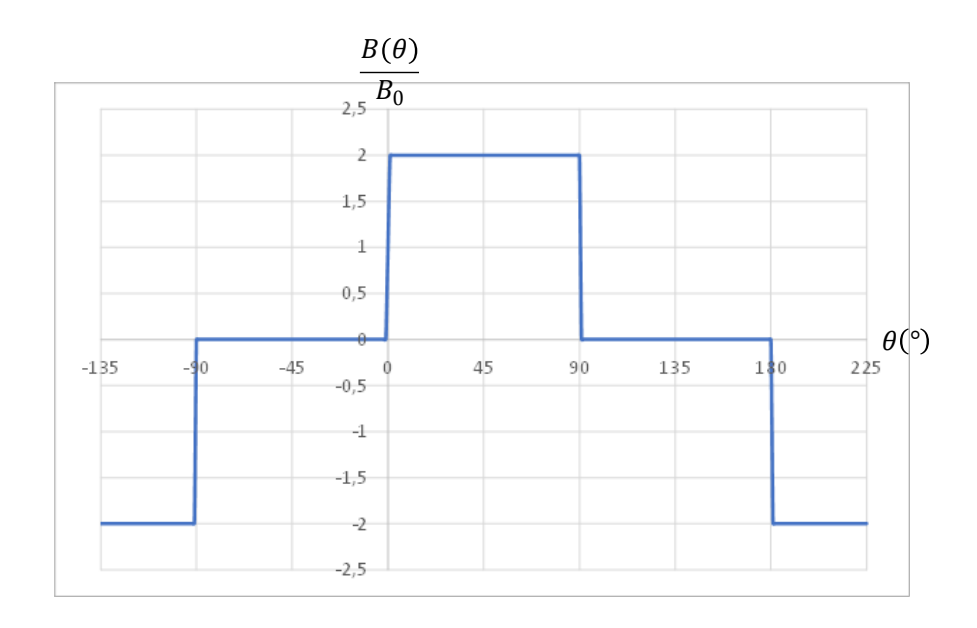
On en déduit (cf schéma ci-dessus) le champ créé par cette spire :

$$\begin{cases} \vec{B}_1 = \frac{\mu_0 I}{2e} \vec{e}_r & \text{pour } \theta \in \left] -\frac{\pi}{2}, \frac{\pi}{2} \right[\\ \vec{B}_1 = -\frac{\mu_0 I}{2e} \vec{e}_r & \text{pour } \theta \in \left] \frac{\pi}{2}, \frac{3\pi}{2} \right[\end{cases}$$

Q18 On obtient de la même façon le champ créé par cette seconde spire de normale \vec{e}_y :

$$\begin{cases} \vec{B}_2 = \frac{\mu_0 I}{2e} \vec{e}_r & \text{pour } \theta \in]0, \pi[\\ \vec{B}_2 = -\frac{\mu_0 I}{2e} \vec{e}_r & \text{pour } \theta \in]\pi, 2\pi[\end{cases}$$

On en déduit l'allure du champ total $B(\theta) = \vec{B} \cdot \vec{e}_r$:



Le champ magnétique créé par ces deux spires est donc maximal dans la direction $\theta = \frac{\pi}{4}$.

Q19 La puissance étant constante, on est en continu strict. Donc $\mathcal{P} = UI$. Par conséquent :

$$I = \frac{\mathcal{P}}{U} = 21,7 \text{ A}$$

On en déduit:

$$B_0 = N \frac{\mu_0 I}{2e} = 0.14 \text{ T}$$

- Q20 La direction du maximum du champ magnétique \vec{B}_{s1} est $\theta=0$ tandis que la direction du maximum du champ magnétique \vec{B}_{s2} est $\theta=\frac{\pi}{2}$. Il suffit donc de réaliser un enroulement identique au premier qui est enroulé autour de la direction $\theta=0$ c'est-à-dire \vec{e}_x , mais de l'enrouler autour de la direction $\theta=\frac{\pi}{2}$ c'est-à-dire \vec{e}_y .
- **Q21** Le champ statorique total est donné par :

$$\vec{B}_{s} = \frac{\mu_{0}NI_{s}}{2\rho} \left(\cos(\omega_{s}t)\cos\theta + \cos(\omega_{s}t - \phi_{2})\cos\left(\theta - \frac{\pi}{2}\right)\right) \vec{e}_{r}$$

Ce champ peut se récrire sous la forme

$$\vec{B}_{\rm S} = \frac{\mu_0 N I_{\rm S}}{4e} \left(\cos(\omega_{\rm S} t - \theta) + \cos(\omega_{\rm S} t + \theta) + \cos\left(\omega_{\rm S} t - \phi_2 - \theta + \frac{\pi}{2}\right) + \cos\left(\omega_{\rm S} t - \phi_2 + \theta - \frac{\pi}{2}\right) \right) \vec{e}_r$$

soit:

$$\begin{split} \vec{B}_{\rm S} &= \frac{\mu_0 N I_{\rm S}}{4e} \Big(\cos(\omega_{\rm S} t - \theta) + \cos(\omega_{\rm S} t + \theta) + \cos\left(\omega_{\rm S} t - \phi_2 - \theta + \frac{\pi}{2}\right) \\ &+ \cos\left(\omega_{\rm S} t - \phi_2 + \theta - \frac{\pi}{2}\right) \Big) \vec{e}_r \end{split}$$

Il faut donc que
$$\begin{cases} \cos\left(\omega_{\rm S}t-\phi_2-\theta+\frac{\pi}{2}\right)=\cos(\omega_{\rm S}t-\theta)\\ \cos\left(\omega_{\rm S}t-\phi_2+\theta-\frac{\pi}{2}\right)=-\cos(\omega_{\rm S}t+\theta) \end{cases}.$$
 On doit donc choisir :
$$\phi_2=\frac{\pi}{2}$$

Dans ce cas,

$$\vec{B}_{s} = \frac{\mu_0 N I_{s}}{2e} \cos(\omega_{s} t - \theta) \, \vec{e}_r = B_{t} \cos(\omega_{s} t - \theta) \, \vec{e}_r = B_{t} \cos(\theta - \phi_{s}) \, \vec{e}_r$$

Q22 L'énergie magnétique totale stockée dans l'entrefer est donnée par :

$$\mathcal{E}_{\text{mag}} = \iiint_{\text{entrefer}} \frac{\left(\vec{B}_{\text{s}} + \vec{B}_{\text{r}}\right)^{2}}{2\mu_{0}} d\mathcal{V} = \frac{eD_{\text{i}}L_{\text{r}}}{4\mu_{0}} \int_{0}^{2\pi} \left(\vec{B}_{\text{s}} + \vec{B}_{\text{r}}\right)^{2} d\theta$$

Cette énergie est la somme de trois termes :

•
$$\frac{eD_1L_r}{4\mu_0}B_t^2\int_0^{2\pi}\cos^2(\theta-\phi_s)\,\mathrm{d}\theta = \frac{eD_1L_r}{8\mu_0}B_t^2\left(2\pi + \left[\sin(2(\theta-\phi_s))\right]_0^{2\pi}\right) = \frac{\pi eD_1L_r}{4\mu_0}B_t^2$$

•
$$\frac{eD_1L_r}{4\mu_0}B_r^2 \int_0^{2\pi} \cos^2(\theta - \phi_r) d\theta = \frac{eD_1L_r}{8\mu_0}B_r^2 \left(2\pi + \left[\sin(2(\theta - \phi_r))\right]_0^{2\pi}\right) = \frac{\pi eD_1L_r}{4\mu_0}B_r^2$$

$$\begin{split} \bullet \quad & \frac{eD_{\mathrm{i}}L_{\mathrm{r}}}{4\mu_{0}}B_{\mathrm{t}}^{2}\int_{0}^{2\pi}\cos^{2}(\theta-\phi_{\mathrm{s}})\,\mathrm{d}\theta = \frac{eD_{\mathrm{i}}L_{\mathrm{r}}}{8\mu_{0}}B_{\mathrm{t}}^{2}\left(2\pi+\left[\sin\left(2(\theta-\phi_{\mathrm{s}})\right)\right]_{0}^{2\pi}\right) = \frac{\pi eD_{\mathrm{i}}L_{\mathrm{r}}}{4\mu_{0}}B_{\mathrm{t}}^{2} \\ \bullet \quad & \frac{eD_{\mathrm{i}}L_{\mathrm{r}}}{4\mu_{0}}B_{\mathrm{r}}^{2}\int_{0}^{2\pi}\cos^{2}(\theta-\phi_{\mathrm{r}})\,\mathrm{d}\theta = \frac{eD_{\mathrm{i}}L_{\mathrm{r}}}{8\mu_{0}}B_{\mathrm{r}}^{2}\left(2\pi+\left[\sin\left(2(\theta-\phi_{\mathrm{r}})\right)\right]_{0}^{2\pi}\right) = \frac{\pi eD_{\mathrm{i}}L_{\mathrm{r}}}{4\mu_{0}}B_{\mathrm{r}}^{2} \\ \bullet \quad & \frac{eD_{\mathrm{i}}L_{\mathrm{r}}}{2\mu_{0}}B_{\mathrm{t}}B_{\mathrm{r}}\int_{0}^{2\pi}\cos(\theta-\phi_{\mathrm{s}})\cos(\theta-\phi_{\mathrm{r}})\,\mathrm{d}\theta = \frac{eD_{\mathrm{i}}L_{\mathrm{r}}}{4\mu_{0}}B_{\mathrm{t}}B_{\mathrm{r}}\int_{0}^{2\pi}\left[\cos(\phi_{\mathrm{r}}-\phi_{\mathrm{s}})+\cos(2\theta-\phi_{\mathrm{s}}-\phi_{\mathrm{r}})\right]\mathrm{d}\theta \\ \mathrm{qui}\,\,\mathrm{vaut}: \end{split}$$

$$\frac{eD_{i}L_{r}}{2\mu_{0}}B_{t}B_{r}\int_{0}^{2\pi}\cos(\theta-\phi_{s})\cos(\theta-\phi_{r})\,\mathrm{d}\theta = \frac{\pi eD_{i}L_{r}}{2\mu_{0}}B_{t}B_{r}\cos(\phi_{r}-\phi_{s})$$

Au total, l'énergie magnétique s'écrit donc :

$$\mathcal{E}_{\text{mag}} = \frac{\pi e D_{\text{i}} L_{\text{r}}}{4\mu_{\text{o}}} (B_{\text{t}}^2 + B_{\text{t}}^2 + 2B_{\text{t}} B_{\text{r}} \cos(\phi_{\text{r}} - \phi_{\text{s}}))$$

Q23 Le couple subi par le rotor vaut donc :

$$\Gamma = \frac{\mathrm{d}\mathcal{E}_{\mathrm{mag}}}{\mathrm{d}\phi_{\mathrm{r}}} = -\frac{\pi e D_{\mathrm{i}} L_{\mathrm{r}}}{2\mu_{0}} B_{\mathrm{t}} B_{\mathrm{r}} \sin(\phi_{\mathrm{r}} - \phi_{\mathrm{s}})$$

Comme le courant statorique a la valeur trouvée à la question Q19, on prend **Q24**

$$B_{\rm t}=B_0=0.14$$
 T. Numériquement, on trouve : $|\Gamma|_{\rm max}=\frac{\pi e D_{\rm i} L_{\rm r}}{2\mu_0}B_{\rm t}B_{\rm r}=68$ N. m.

Q25 Les fém sont données par la loi de Faraday :
$$\begin{cases} E_1 = -\frac{\mathrm{d}\Phi_{\mathrm{r}\to 1}}{\mathrm{d}t} \\ E_2 = -\frac{\mathrm{d}\Phi_{\mathrm{r}\to 2}}{\mathrm{d}t} \end{cases}$$
. Or, $\Phi_{\mathrm{r}\to 1} = KND_{\mathrm{i}}L_{\mathrm{r}}B_{\mathrm{r}}\cos\phi_{\mathrm{r}}$

et $\Phi_{r\to 2}=KND_iL_rB_r\cos\left(\phi_r-\frac{\pi}{2}\right)=KND_iL_rB_r\sin(\phi_r)$. Comme $\phi_r=\omega_rt$ + constante, on en déduit :

$$\begin{cases} E_1 = KND_i L_r B_r \omega_r \sin \phi_r \\ E_2 = -KND_i L_r B_r \omega_r \cos \phi_r \end{cases}$$

Q26 La loi des mailles appliquées dans l'enroulement statorique (i) donne :

$$\underline{I_i} = \frac{\underline{E_i}}{R + R_u + jL\omega_r}$$

Or, les fém complexes s'écrivent : $\begin{cases} \underline{E_1} = -j\omega_r \frac{\pi ND_iL_rB_r}{4} \exp(j\phi_r) \\ \underline{I_2} = -\omega_r \frac{\pi ND_iL_rB_r}{4} \exp(j\phi_r) \end{cases}. \text{ On en déduit :}$

$$\begin{cases} \underline{I_1} = -\frac{\pi N D_i L_r B_r}{4} \frac{j\omega_r}{R + R_u + jL\omega_r} \exp(j\phi_r) \\ \underline{I_2} = -\frac{\pi N D_i L_r B_r}{4} \frac{\omega_r}{R + R_u + jL\omega_r} \exp(j\phi_r) \end{cases}$$

Q27 Le champ magnétique statorique complexe s'écrit donc :

$$\underline{B_{\mathrm{t}}} = \frac{\mu_0 N}{2e} \left(\underline{I_1} \cos \theta + \underline{I_2} \sin \theta \right) = -\frac{\mu_0 N}{2e} \frac{\pi N D_{\mathrm{i}} L_{\mathrm{r}} B_{\mathrm{r}}}{4} \frac{\omega_{\mathrm{r}}}{R + R_{\mathrm{u}} + \mathrm{j} L \omega_{\mathrm{r}}} (\mathrm{j} \cos \theta + \sin \theta) \exp(\mathrm{j} \phi_{\mathrm{r}})$$

soit:

$$\begin{split} \underline{B_{\mathrm{t}}} &= \frac{\mu_0 N}{2e} \frac{\pi N D_{\mathrm{i}} L_{\mathrm{r}} B_{\mathrm{r}}}{4} \frac{\omega_{\mathrm{r}}}{R + R_{\mathrm{u}} + \mathrm{j} L \omega_{\mathrm{r}}} \exp \mathrm{j} \left(\phi_{\mathrm{r}} - \theta - \frac{\pi}{2} \right) \\ &= \frac{\mu_0 N}{2e} \frac{\pi N D_{\mathrm{i}} L_{\mathrm{r}} B_{\mathrm{r}} \omega_{\mathrm{r}}}{4 \sqrt{(R + R_{\mathrm{u}})^2 + L^2 \omega_{\mathrm{r}}^2}} \exp \mathrm{j} \left(\phi_{\mathrm{r}} - \theta - \frac{\pi}{2} - \mathrm{atan} \left(\frac{L \omega_{\mathrm{r}}}{R + R_{\mathrm{u}}} \right) \right) \end{split}$$

En identifiant avec $B_t = B_s \exp j(\phi_s - \theta)$, on en déduit :

$$\begin{cases} B_{\rm S} = \frac{\pi \mu_0 N^2 D_{\rm i} L_{\rm r} \omega_{\rm r}}{8e\sqrt{(R+R_{\rm u})^2 + L^2 \omega_{\rm r}^2}} B_{\rm r} \\ \phi_{\rm r} - \phi_{\rm S} = \frac{\pi}{2} + \operatorname{atan}\left(\frac{L\omega_{\rm r}}{R+R_{\rm u}}\right) \end{cases}$$

Injectons ces expressions dans l'expression du couple trouvée à la question

$$\Gamma = -\frac{\pi e D_{\rm i} L_{\rm r}}{2\mu_0} \frac{\pi \mu_0 N^2 D_{\rm i} L_{\rm r} \omega_{\rm r}}{8e\sqrt{(R+R_{\rm u})^2 + L^2 \omega_{\rm r}^2}} B_{\rm r}^2 \sin\left(\frac{\pi}{2} + \operatorname{atan}\left(\frac{L\omega_{\rm r}}{R+R_{\rm u}}\right)\right)$$

soit:

$$\Gamma = -\frac{\pi^2 \mu_0 N^2 D_{\rm i}^2 L_{\rm r}^2 \omega_{\rm r}}{8\sqrt{(R+R_{\rm u})^2 + L^2 \omega_{\rm r}^2}} \frac{B_{\rm r}^2}{2\mu_0} \cos\left(\arctan\left(\frac{L\omega_{\rm r}}{R+R_{\rm u}}\right)\right)$$

Q28 La puissance moyenne consommée par la résistance de charge vaut $\mathcal{P} = \frac{U_{\text{eff}}^2}{R_{\text{H}}}$ donc :

$$R_{\rm u} = \frac{U_{\rm eff}^2}{\mathcal{P}} = 10.6 \,\Omega$$

En régime permanent de rotation, le théorème du moment cinétique appliqué au rotor donne : $0 = \Gamma_{vent} + \Gamma$. Donc :

$$\Gamma_{\text{vent}} = \frac{\pi^2 \mu_0 N^2 D_{\text{i}}^2 L_{\text{r}}^2 \omega_{\text{r}}}{8\sqrt{(R + R_{\text{u}})^2 + L^2 \omega_{\text{r}}^2}} \frac{B_{\text{r}}^2}{2\mu_0} \cos\left(\arctan\left(\frac{L\omega_{\text{r}}}{R + R_{\text{u}}}\right)\right) = 207 \text{ N. m}$$

Q29 Remarquons tout d'abord que la période angulaire $\Delta\theta$ du champ rotorique a été divisée par $p:\Delta\theta=\frac{2\pi}{p}$. Le rotor peut donc tourner p fois moins vite que dans le cas p=1.

Par ailleurs, le bobinage statorique (1) d'axe $\theta=0$ voit le champ rotorique $\vec{B}_{\rm r}=B_{\rm r}\cos(\omega_{\rm r}t)\,\vec{e}_{\rm r}$, qui doit être inchangé puisqu'on veut conserver la même pulsation $\omega_{\rm r}$ des courants.

D'autre part, $\cos(p\theta-\omega_{\rm r}t)=\cos\left(\omega_{\rm r}\left(t-\frac{p\theta}{\omega_{\rm r}}\right)\right)=\cos\left(\omega_{\rm r}\left(t-\frac{\theta}{\Omega_{\rm r}}\right)\right)$ où $\Omega_{\rm r}=\frac{\omega_{\rm r}}{p}$. La vitesse angulaire $\Omega_{\rm r}$ du rotor est bien divisée par p.

La fréquence des courants induits au stator vaut toujours $f=rac{\omega_{
m r}}{2\pi}=prac{\Omega_{
m r}}{2\pi}$ donc :

$$\Omega_{\rm r} = \frac{2\pi f}{p} = 26 \text{ rad. s}^{-1} = 250 \text{ tr. min}^{-1}$$

Pour p=1, le rotor devait tourner à 3000 tr. min $^{-1}$ pour obtenir la même fréquence de 50 Hz pour les courants.